



LLUVIAS



**CENEPRED**

Centro Nacional de Estimación, Prevención y  
Reducción del Riesgo de Desastres

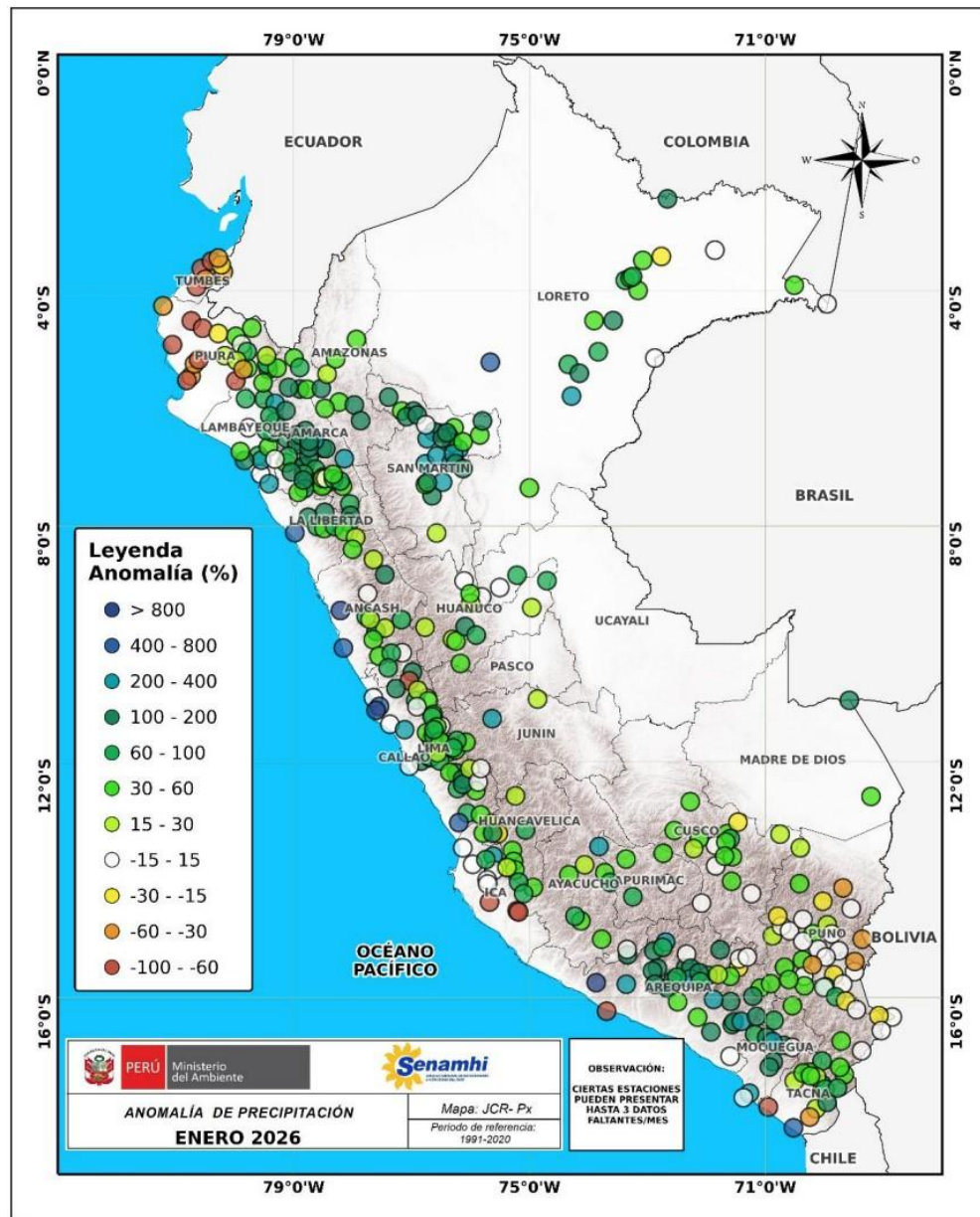
# ESCENARIO DE RIESGO ANTE EL PRONÓSTICO DE LLUVIA EN LA COSTA NORTE

*DEL 15 DE FEBRERO DE 2026*

## I. COMPORTAMIENTO DE LAS PRECIPITACIONES A NIVEL NACIONAL

En enero de 2026, se registraron superávits de precipitación superiores al 100% en gran parte del territorio nacional. Destacaron anomalías positivas mayores al 400% en estaciones meteorológicas como Trujillo (La Libertad), Buena Vista y Huarmey (Ancash), Unjf Sanchez Carrión, Sosci Cañete y Alcantarilla (Lima), así como La Yarada (Tacna), entre otros. En contraste, se observaron anomalías negativas entre -60% y -100% en diversas estaciones meteorológicas, principalmente en la costa, la sierra central y sierra sur del país.

Figura 01: Frecuencia e Intensidad de lluvias de enero 2026.



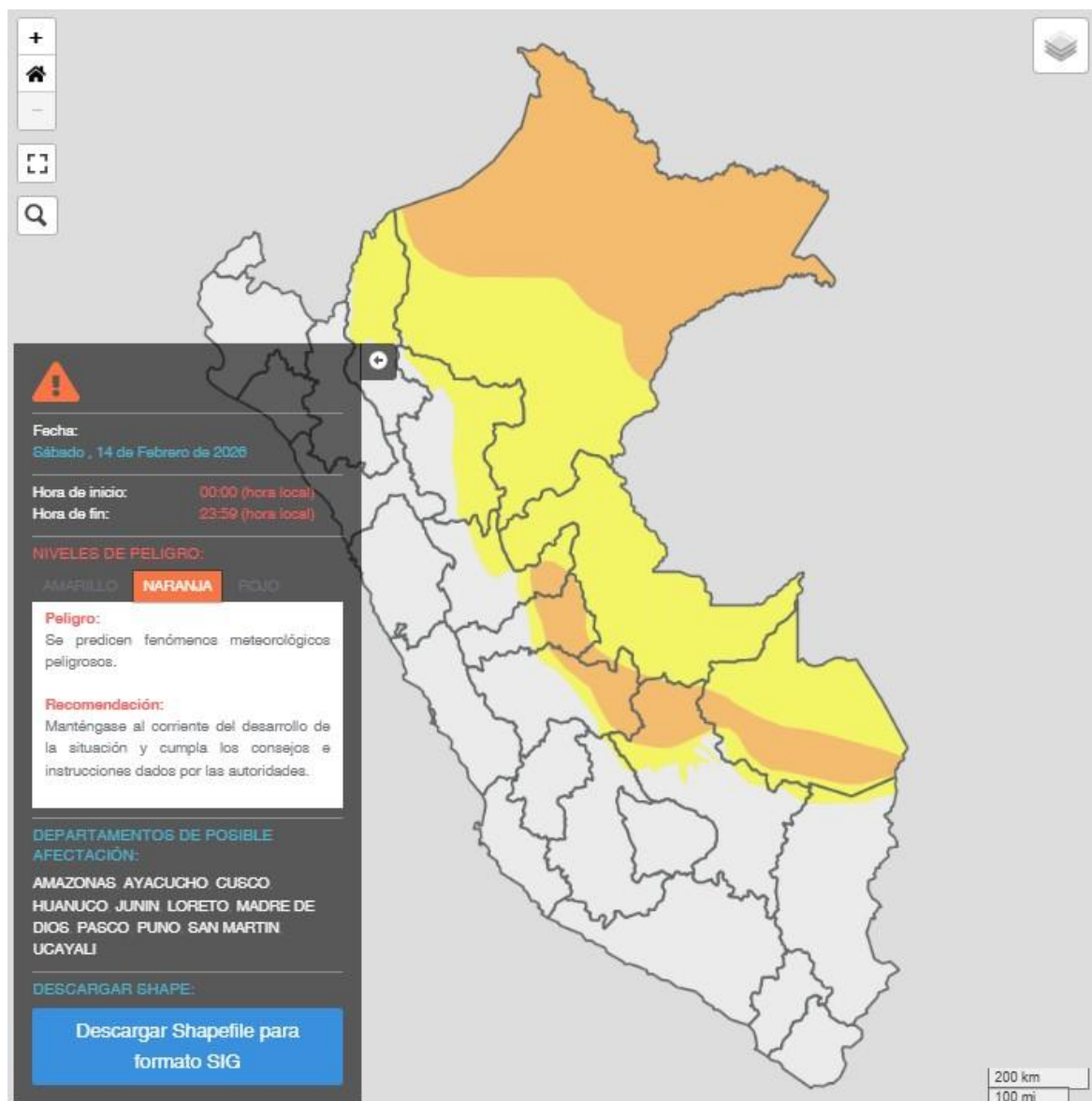
Fuente: SENAMHI (Enero, 2026).

## II. PERSPECTIVAS

El SENAMHI informa que, desde el sábado 14 al domingo 15 de febrero, continuará las lluvias de moderada a fuerte intensidad, en la selva. Esta lluvia estará acompañada de descargas eléctricas y ráfagas de viento con velocidades cercanas a los 45 km/h.

El sábado 14 de febrero se prevén acumulados de lluvia cercanos a los 65 mm/día en la selva norte y valores próximos a los 50 mm/día en la selva centro y 45 mm/día en la selva sur.

Figura 2. Pronóstico de lluvia en la selva del 14 de febrero de 2026



Fuente: SENAMHI Aviso Meteorológico N°047

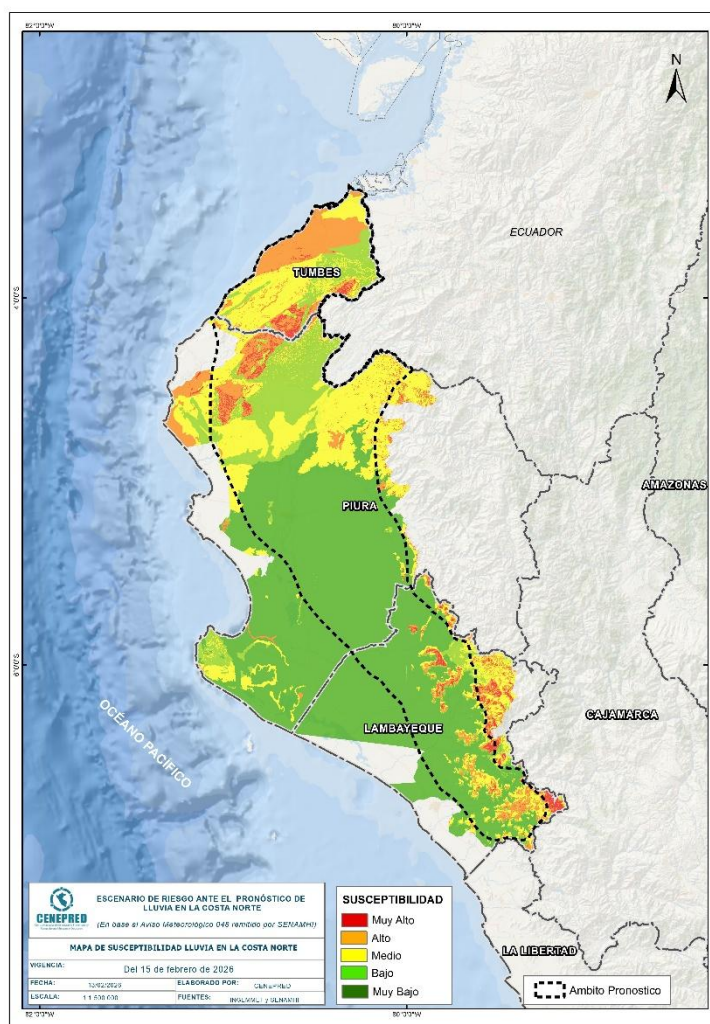
### III. ESCENARIO DE RIESGO POR MOVIMIENTOS EN MASA

#### 1 ANÁLISIS DE SUSCEPTIBILIDAD POR MOVIMIENTOS EN MASA

La probabilidad de la ocurrencia de lluvias de fuerte intensidad durante estos días, desencadenarían la posible presencia de deslizamientos, flujos de detritos (huaycos) u otro tipo de movimientos en masa, que traería consigo situaciones de riesgo. No obstante, no se descarta la presencia de estas en las zonas donde se prevé condiciones normales o de déficit de lluvias.

Para la identificación de los ámbitos con mayor propensión a estos eventos se ha tomado como base el Mapa de Susceptibilidad a Movimientos en Masa<sup>1</sup> (INGEMMET).

Figura 3. Susceptibilidad a movimientos en masa en la costa norte



Fuente: CENEPRED, elaborado con información del INGEMMET y SENAMHI

<sup>1</sup> Cabe destacar que los mapas de susceptibilidad por movimientos en masa, si bien identifican áreas donde se pueden generar potencialmente tales eventos, en ellos no figura la totalidad de zonas a ser afectadas, ni predicen cuando ocurrirán los procesos analizados (Ayala-Carcedo y Olcinas 2002).

## 2 ANÁLISIS DE EXPOSICIÓN SOCIOECONÓMICA

En el análisis de exposición socioeconómica, se consideró como unidad mínima de análisis el ámbito distrital. Las variables utilizadas son incidencia de pobreza, tasa de analfabetismo y tasa de desnutrición crónica infantil.

El valor de exposición se obtuvo mediante el análisis con sistemas de información geográfica (SIG), con la finalidad de poder representarlo cartográficamente.

Se estimó el valor de importancia (ponderación) de cada uno de los parámetros mediante el Proceso de Análisis Jerárquico (método de Saaty). Posteriormente, se determinó para cada parámetro los respectivos descriptores, representados por sus quintiles, estimándose también para estos una ponderación mediante el mismo método.

Este procedimiento se muestra en la Tabla 1, dando como resultado el valor de exposición para cada distrito.

Tabla 1. Matriz de ponderación utilizada para la evaluación de los niveles de exposición.

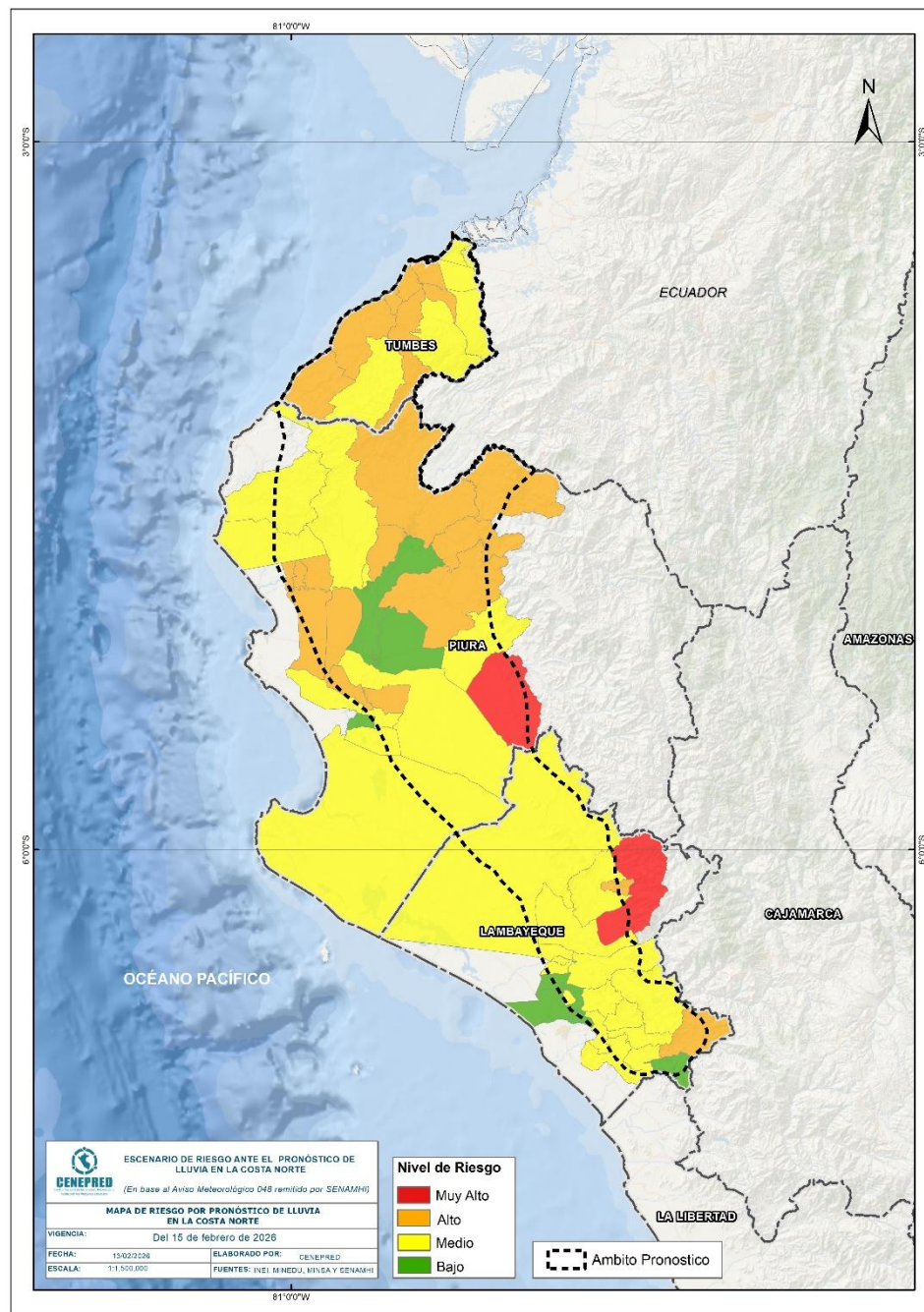
Descriptor	Parámetros de evaluación										Rango	Nivel de exposición
	Incidencia de pobreza	Valor	Peso	Tasa de Desnutrición Crónica	Valor	Peso	Tasa de Analfabetismo	Valor	Peso	Valor de exposición		
D5	Mayor a 63.8%	0.459	0.608	34.2% a 61.7%	0.416	0.272	20.8% a 45.5%	0.432	0.120	0.444	0.262 < R <= 0.444	Muy Alto
D4	50.7% a 63.7%	0.259	0.608	26.0% a 34.1%	0.262	0.272	14.1% a 20.7%	0.283	0.120	0.262	0.153 < R <= 0.262	Alto
D3	36.3% a 50.6%	0.150	0.608	19% a 25.9%	0.161	0.272	9.6% a 14.0%	0.152	0.120	0.153	0.089 < R <= 0.153	Medio
D2	21.8% a 36.2%	0.085	0.608	9.1% a 18.9%	0.099	0.272	5.4% a 9.5%	0.086	0.120	0.089	0.051 < R <= 0.089	Bajo
D1	Menor a 21.8%	0.047	0.608	Menor a 9.1%	0.062	0.272	Menor a 5.4%	0.048	0.120	0.051		

Fuente: CENEPRED, elaborado con información del INEI y el MINSA.

### 3. ESCENARIO PROBABLE DE RIESGO POR MOVIMIENTOS EN MASA

Una vez identificado los niveles de susceptibilidad a movimientos en masa y los niveles de exposición de la población, a nivel distrital, se procede a la conjunción de ambos factores para el cálculo de la probabilidad del riesgo (Tabla 2).

Figura 4. Escenario de riesgo por movimientos en masa según el pronóstico de lluvia en la costa norte



Fuente: CENEPRED



Finalmente, se presentan los resultados del escenario de riesgo por movimientos en masa en la Tabla 2.

Tabla 2. Elementos expuestos por departamentos según su nivel de riesgo.

Nivel de Riesgo		Muy Alto				Alto					
DEPARTAMENTOS		Elementos expuestos									
		Cantidad Distritos	Población	Viviendas	Establec. Salud	Instituc. Educativas	Cantidad Distritos	Población	Viviendas	Establec. Salud	Instituc. Educativas
1	<b>LAMBAYEQUE</b>	1	12,595	3,509	12	75	2	9,608	2,985	6	25
2	<b>PIURA</b>	1	13,997	3,793	6	57	12	291,285	77,499	115	654
3	<b>TUMBES</b>	0	0	0	0	0	7	166,941	44,533	84	281
<b>TOTAL GENERAL</b>		<b>2</b>	<b>26,592</b>	<b>7,302</b>	<b>18</b>	<b>132</b>	<b>21</b>	<b>467,834</b>	<b>125,017</b>	<b>205</b>	<b>960</b>

Fuente: CENEPRED, elaborado con la información del INEI\*, MINSA\*\* y MINEDU\*\*\*

\*INEI: Cálculo de población y vivienda según Censos Nacionales 2017: XII de Población y VII de Vivienda

\*\*MINSA: Base RENIPRESS, febrero 2026

\*\*\*MINEDU: ESCALE, febrero 2026



## IV. ESCENARIO DE RIESGO POR INUNDACIONES

### 1 ANÁLISIS DE SUSCEPTIBILIDAD POR INUNDACIONES

La probabilidad de la ocurrencia de lluvias de fuerte intensidad durante estos días, desencadenarían la posible presencia de inundaciones, que traería consigo situaciones de riesgo. No obstante, no se descarta la presencia de estas en las zonas donde se prevé condiciones normales o de déficit de lluvias.

Para la identificación de los ámbitos con mayor propensión a estos eventos se consolidó los mapas de susceptibilidad a inundaciones a nivel regional, elaborado por el INGEMMET, los cuales consideran como factores condicionantes: la geomorfología y la pendiente del terreno.

Los ámbitos de susceptibilidad muy alta y alta se caracterizan principalmente por presentar llanuras aluviales, planicies, altiplanos, terrazas aluviales, entre otros.

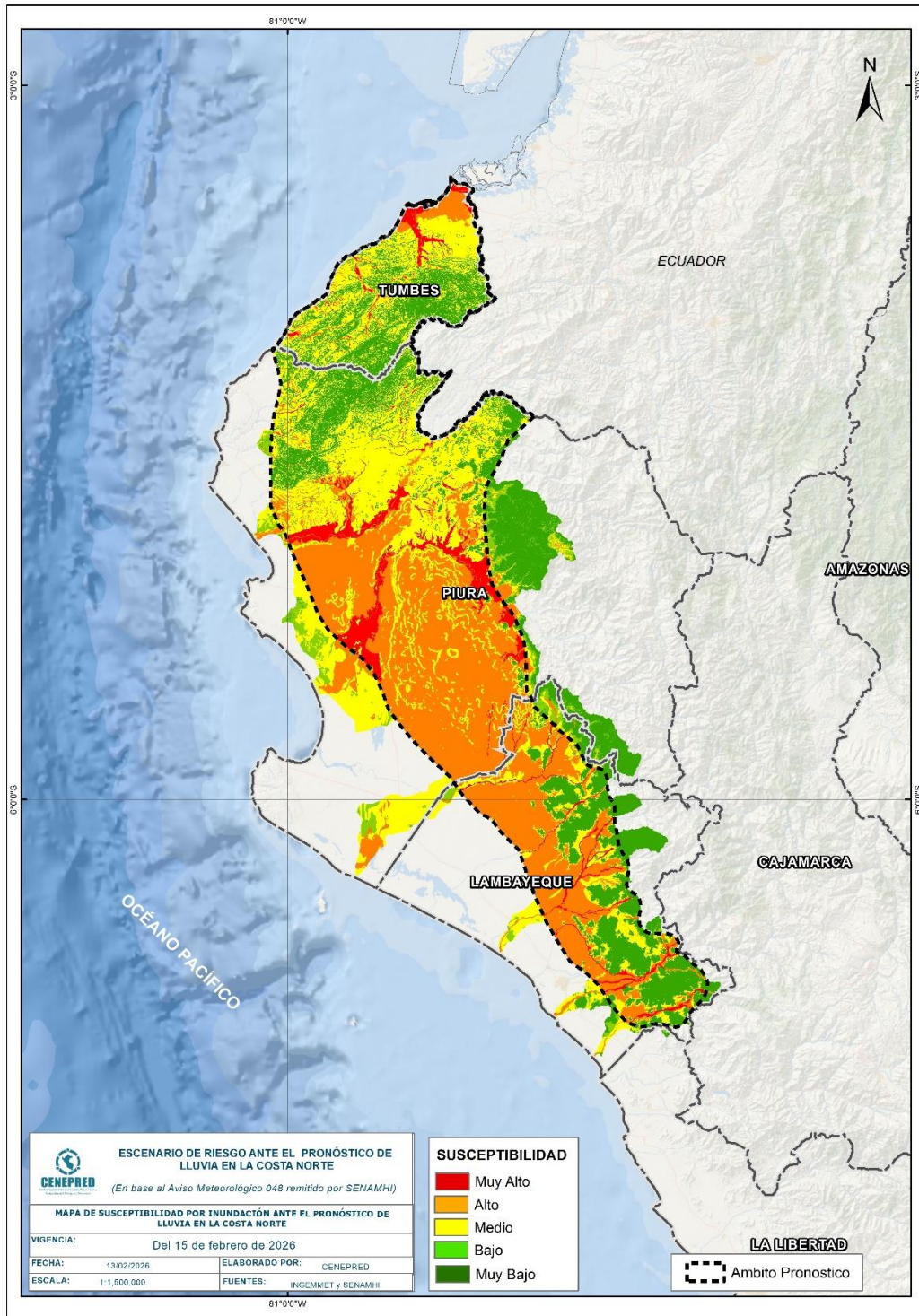
### 2 ESCENARIO PROBABLE DE RIESGO POR INUNDACIONES

Una vez identificado los niveles de susceptibilidad a inundación en el ámbito de las cuencas afectadas en la Figura 5. se procede a realizar el análisis de los niveles de exposición de la población, vivienda, establecimientos de salud e instituciones educativas a nivel de centros poblados.

De acuerdo al análisis de exposición y considerando el pronóstico se generó la Tabla 3, encontrándose que los departamentos con nivel de riesgo **Muy Alto** comprenden una población expuesta de 388.583 habitantes; 118.290 viviendas; 252 establecimientos de salud y 991 instituciones educativas.

Los departamentos con nivel de riesgo **Alto** comprenden una población expuesta de 1.051.789 habitantes; 311.227 viviendas; 602 establecimientos de salud y 2.328 instituciones educativas.

Figura 5. Escenario de riesgo por inundaciones en el ámbito del pronóstico de lluvia en la costa norte del 15 de febrero del 2026



Fuente: CENEPRED



Tabla 3. Elementos expuestos por departamentos según su nivel de riesgo por inundación.

Nivel de Riesgo		Muy Alto					Alto				
DEPARTAMENTOS		Elementos expuestos									
		Centros Poblados	Población	Viviendas	Establec. Salud	Instituc. Educativas	Centros Poblados	Población	Viviendas	Establec. Salud	Instituc. Educativas
1	<b>LAMBAYEQUE</b>	79	36,707	12,149	9	70	479	230,058	73,062	58	644
2	<b>PIURA</b>	111	333,394	99,202	233	860	291	678,434	187,598	494	1,490
3	<b>TUMBES</b>	30	18,482	6,939	10	61	31	143,297	50,567	50	194
<b>TOTAL GENERAL</b>		<b>220</b>	<b>388,583</b>	<b>118,290</b>	<b>252</b>	<b>991</b>	<b>801</b>	<b>1,051,789</b>	<b>311,227</b>	<b>602</b>	<b>2,328</b>

Fuente: CENEPRED, elaborado con la información del INEI\*, MINSA\*\* y MINEDU\*\*\*

\*INEI: Cálculo de población y vivienda según Censos Nacionales 2017: XII de Población y VII de Vivienda

\*\*MINSA: Base RENIPRESS, febrero 2026

\*\*\*MINEDU: ESCALE, febrero 2026

El CENEPRED actualizará esta información de acuerdo a los avisos meteorológicos remitidos por del SENAMHI. El resultado de esta información se encuentra disponible en el Sistema de Información para la Gestión del Riesgo de Desastres - SIGRID, y a través de la página web del CENEPRED <https://cenepred.gob.pe/web/escenario-riesgos/> para su descarga a fin de dar a conocer de manera detallada los parámetros utilizados.